## 甘肃九条岭地区地震活动的初步研究

赵振 高世垒 张伶\* (国家地震局兰州地震研究所地震观测研究室)

前盲 九条岭地区是甘肃省近年来地震活动水平最高的地区,本文着重介绍该区小震活动特点,並结合地质环境、构造应力场的作用及古浪大震影响的分析,对其形成的原因进行了讨论。

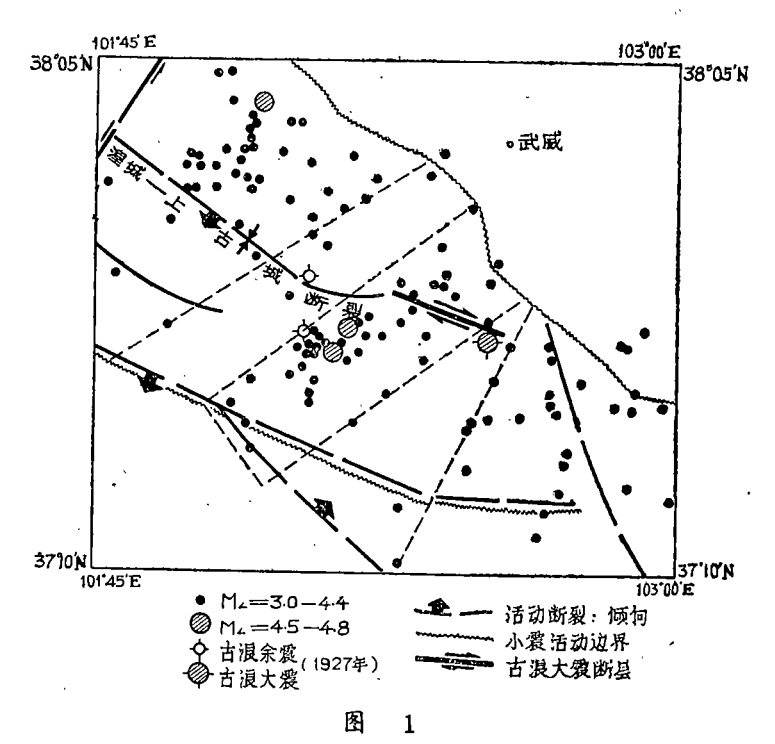
一、地质构造和地震活动背景 本文研究地区位于北纬 37°10′~38°05′, 东经 101°45′~103°00′。全区面积约一万平方公里。本区地处青藏高原的东北部边缘, 新生代 以来, 其中的许多深大断裂都有活动。

由于青藏块体的强烈升高和北推,武威盆地持续相对下降, 形成了本区独特的地质构造背景。

本区地震活动频繁。1927年5月23日古浪八级大震就发生在这里。近年来,小震活动很活跃。1970年至1978年共发生 ML≥4.5的地震三次,ML≥3.0的地震122次,平均每年14次。释放的应变相当于一个六级地震的应变量。是甘肃省地震活动水平最高的地区。因此,研究小震活动规律,对监视预报该区的中强震是很必要的。

## 二、小震活动特点

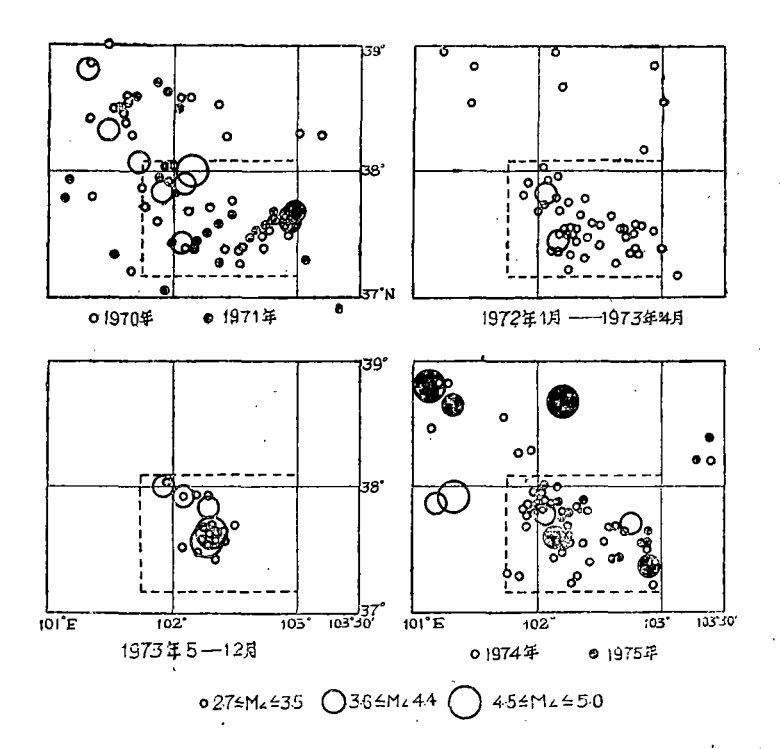
1) 小震活跃区有明显的 ·



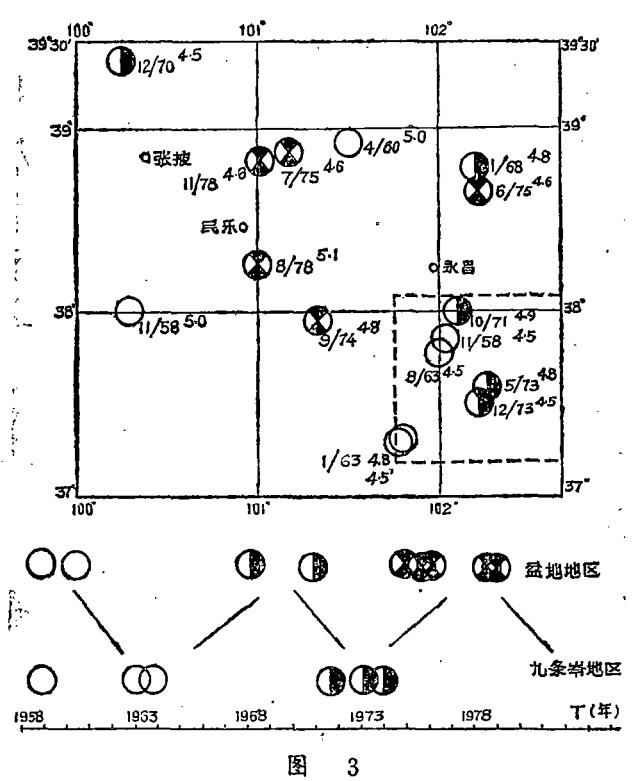
边界。如图 1 所见,本区小震在东北部和西南部的活动,都有明显的边界,西南部的边界是祁连山脊冷龙岭,它与一条活动断裂恰相吻合。在这条线上,海拔高度多在四千公尺以上。东北部的边界是武威盆地与祁连山之间高差梯度最大的地方,地震集中发生在祁连山北麓,武威盆地以南。1927年古浪八级大震就发生在这条边界附近。

2)震中成块状或条带状分布。小震活动集中在如图1所示的A、B、C三个块状或条

<sup>•</sup> 张勇利、曹克信同志参加了部分工作。



图

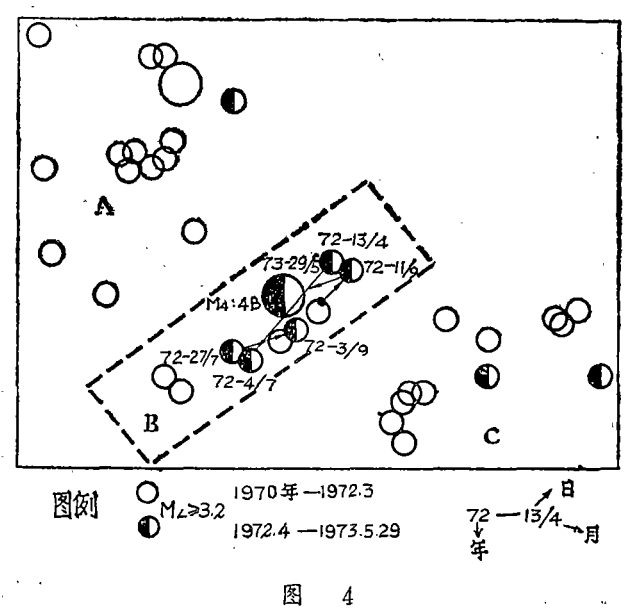


带状区域内,在这三个小区之间有明显的无震区相隔,其中以B带小震活动最为强烈。

3)较大地震前后的小震活动是分散一集中,发震一再分散。本区较大地震前,附近地区的地震活动有逐渐减低的趋势,在地

的地震活动有逐渐减低的趋势,在地震发生前一年左右,小震几乎全部集中在本区,震后又逐渐分散,在邻区相继发生一些与本区发生的最大地震震级相当的地震。图 2 是1973年 5 月ML = 4.8至12月 ML = 4.5 级地震前后几年本区和邻区的地震活动情况。

- 4)本区较大地震的发生与张掖一民乐盆地周围的同级别地震有明显的呼应关系。由图3可以看出,发震的时间间隔在缩短,似乎表明这两个地区的地震活动正在增强。
- 5)地震活动的增强趋势和间歇性。表I给出了最近二十年来本区地 假的应变释放、ML≥3.5地震的累 积频度和各时段的曲线斜率。由此可



见,曲线斜率有逐渐增大即地震活动逐渐增强的趋势,在此背景上,显现出小震活动时强时 弱的间歇性。经历了应变释放一积累一再释放一再积累的过程,目前正处于一个新的积累时期。

还应指出,虽然本区地震活动频繁,但并没有明显大的地震。据统计,1958年以来,本区共发生 $M \angle \geqslant 4.0$ 的地震16次,其中 $M \angle = 4.4 \sim 4.9$ 的地震有11次,震级差别不大。

应变积累和地震累积频度的各时段斜率

表】

时间	1956—1963年	1964—1967	1968—1971	1972—1974	1975—1978
应变积累	1.20×10 <sup>5</sup> (焦耳を/月)	0.49×10 <sup>5</sup>	1.68×10 <sup>5</sup>	3.62×10 <sup>6</sup>	1.83×10 <sup>5</sup>
ML≥3.5 累积频度			5.0次/年	8.5	2.0

## 三、讨论

在讨论本区地震活动特点的时候,必须考虑三个重要因素:一是本区地质环境,二是构造应力场的作用,三是古浪大震的影响。

如前所述,本区地处青藏高原东北边缘,由于高原的不断抬升和武威盆地的相对稳定,两者之间造成显著的地形差异和应力集中;高原内部不协调的缓慢抬升形成了沿高原边界的深大断裂,并成为小震活动的南部边界,由于深大断裂的切割和古浪大震的影响,本区地壳破碎,在构造应力场的作用之下,某些部位难于积累较多的能量,而另一些部位就不同,能够积累一些能量并通过小震的发生而释放。地震发生后,应力松弛,邻区地壳应力水平相对增高,再经过一段时间的积累,也会发生一些地震。这可能就是本区地震活动级别不高,

边界明显、震中成块状分布、活动显间歇性以及与邻近地区地震相间发生的原因。

至于B 区震中的明显条带状分布,除了上述原因之外,还可能与下述原因有关。如前所 述,B带的小震和其他两带相比,更活跃。1970年以来,B带小震释放的应变占全区的50%, 而它的面积只占全区的六分之一,它的大体走向为 N50°E, 东北端与湟城—上古城断裂的东 部转弯处相接。1973年 5 月和12月在该带上由东北向西南发生了两次震级 分 别为 ML = 4.8 和 4.5 的 地震, 前者前震很少, 而后者有50个前震 (ML = 1.2~3.4), 九条岭地震台记录 到这些前震的波形相同, $\overline{P}$ 波初动全部为正;垂直向 $\overline{P}$ , $\overline{S}$ 波振幅比近似线性关系;前震b值 较本区正常值1.0低很多,只有0.54。在这两次地震前,从1972年4月开始,ML≥3.2的地 震沿B带的走向往返牵移(图 4)。这说明,靠近湟城—上古城断裂的 4.8 级地震可能是一次 粘滑破裂,而后一次4.5级地震是一次新的破坏。根据他人对古浪八级大震的考查,认为大 震形成的地面可见断层很短,全长只有20公里左右。与震级很不相称。该地震断层走向大致 为N70°W, 其西端与湟城一上 古 城断裂相接(见图1)。考虑到上述事实和现今构造应力 场主应力轴的取向,对现今 B 区小震的带状分布做如下推测:由于湟域—上古城断裂西部走 向为 N 50~60°W 倾向南西,这与取向为S 24°W,仰角为35°的本区构造应力场主压应力轴 (表 II) 近 于 垂 直,因此,该断层所受的正压力为 $\sigma = \sigma_1 \cos^2 \alpha + \sigma_3 \sin^2 \alpha \approx \sigma_3$ ,其中, $\sigma_1$ 为主张应力,  $\sigma_3$ 为主压应力,  $\alpha$ 是 $\sigma_3$ 与断层面的夹角。可见当  $\alpha \sim 90$ °时, 断层面上的正压力 接近最大值一该区主压应力值 $\sigma_3$ ,这样,断层面上的摩擦力 $f = \mu \sigma \approx \mu \sigma_3$ ,( $\mu$ 为摩擦系数) 也接近最大值,根据现有的材料,古浪大震除了逆冲性质外,还有平推成分,不论这种平推 成分是左旋还是右旋,都难于带动摩擦力很大的湟城—上古城断裂两盘产生相对滑动,因此, 使大震破裂与该断层东端相接后,不见有更长的地震断层,并使该断层转弯处应 力 高 度 集 中,古浪八级地震的两个六级余震恰好发生在这条断层的转弯处,可能就是这个原因。但是 两个六级余震未必能全部释放集中在该处的应力,加之构造应力的持续作用,势必还将发生 大量的小震。走向大体为N50°E的B带与震源机制解中走向为N52°E的节面基本一致,如果 这一节面正是地震的断层面,那么B带既能继续释放八级大震后集中在断层转弯处附近的应 力,又能释放构造应力场不断积累起来的能量。

综上所述,根据本区的地质构造和地震活动背景,可以排除近几年或十几年内发生六级以上地震的可能性。但是,结合某些地震活动性指标,可以推测,本区小震将继续活跃,五至六级地震的危险是存在的。

震	源	机	制	参	数

表Ⅱ

.

多	断层面参数			主应力轴参数				··········		
地数	A节面		B节面		P 轴		T·轴		备	注
震	走向	倾角	走向	倾角	方位	仰角	方位	仰角		
1973.5.29 ML = 4.8	37°	47°	159°	60°	196°	53°	97°	6°		
12.9 ML = 4.5	66°	70°	160°	80°	205°	20°	112°	8°		
1971~1977年	54°	65°	157°	65°	195°	35°	106°	0°	小震車	台法
1975~1977年	76°	55°	176°	75°	222°	37°	121°	13°	".	"
平均	58°	59°	162°	70°	204°	. 35°	108°	7°		